

## МЕЗОННЫЕ ОБМЕННЫЕ ТОКИ В ГЛУБОКОНЕУПРУГОМ РАССЕЯНИИ НА ДЕЙТРОНЕ

*Л.П.Каптарь, Б.Л.Резник, А.И.Титов, А.Ю.Умников*

Рассчитаны основные диаграммы, определяющие мезонные поправки к структурной функции дейтрана  $F_2^D(x)$ . Вычислен вклад одно- и двухпционного обменов в  $F_2^D(x)$ . Показано, что учет мезонных токов лишь наполовину восстанавливает энергетическое правило сумм для кваркового распределения дейтрана, нарушенное взаимодействием нуклонов.

1. Представляется очевидным, что мезонные обменные токи (МОТ) должны давать вклад в глубоконеупругое рассеяние (ГНР) электронов ядрами, подобном тому, как они проявляются в других ядерных процессах<sup>1–4</sup>. Неудивительно поэтому, что именно мезоны явились первыми кандидатами на объяснение ЕМС-эффекта, наблюдаемого отклонения от единицы отношения структурных функций тяжелого ядра и дейтерия  $R^{A/D}$ . Предполагалось, что в тяжелых ядрах, из-за сильного взаимодействия нуклонов, существует некоторый избыток числа мезонов (пионов)  $\delta n_M$ , приходящихся на один нуклон, по сравнению с не-взаимодействующими нуклонами – которым объяснялся подъем  $R^{A/D}$  при  $x \lesssim 0,2$ <sup>5–7</sup>. Слабым местом этих работ было то, что величина  $\delta n_M$  не вычислялась, а задавалась либо как параметр, либо как функция от неизвестных величин, которые сами являлись эффективными параметрами. Это практически означает, что вопрос о количественном вкладе ядерных мезонов в структурную функцию пока еще не решен. Построение самосогласованной теории МОТ в ГНР на тяжелых ядрах – дело будущего, однако, проследить основные качественные моменты этой теории можно на примере ядерной "точнорешаемой модели" – дейтрана. Расчет вклада МОТ в ГНР на дейтране и составляет содержание данной статьи.

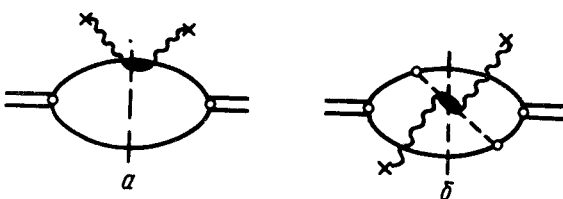


Рис. 1. Диаграммы ГНР на дейтране

2. Поскольку адронный тензор  $W_{\mu\nu}^D$ , содержащий всю информацию о ГНР, определяется мнимой частью амплитуды упругого рассеяния виртуального  $\gamma$ -кванта дейтраном, то для нашей цели можно применить теорию МОТ, развитую для описания упругого рассеяния электронов легчайшими ядрами<sup>1, 2, 4</sup>. В сечение ГНР, так же как и в случае упругого рассеяния дают вклад диаграммы импульсного приближения (ИП) и диаграммы МОТ, которые, в свою очередь, состоят из диаграмм мезонных токов (МТ), токов отдачи, перенормировки и т. д. Можно показать<sup>4</sup>, что часть диаграмм МОТ взаимно сокращается, а часть – эффективно учитывается в диаграммах импульсного приближения, так что в итоге  $W_{\mu\nu}^D$  представляется в виде суммы диаграмм – ИП и МТ, приведенных соответственно на рис. 1a, b. Самосогласованность теории подразумевает, что при расчете диаграмм МТ должны учитываться те мезоны, которые генерируют  $NN$ -взаимодействие в дейтране. В наших расчетах используются два потенциала: потенциал однобозонного обмена ( $\pi + \sigma + \omega + \rho + \delta + \eta$ ) "боннской" группы<sup>8</sup> и "парижский" потенциал<sup>9</sup>, который при  $r > 0,8$  Фм представлен  $\pi + 2\pi + \omega$  – обменным потенциалом, а при  $r < 0,8$  Фм содержит феноменологическое отталкивание.

### 3. Расчет структурной функции дейтрана в ИП сводится к вычислению свертки

$$F_2^{ND}(x) = \int F_2^N(x/\xi) \varphi(\xi) d\xi, \quad (1)$$

где  $F_2^N(x)$  – структурная функция нуклона, а  $\varphi(\xi)$  – распределение связанных нуклонов в дейтране по доле продольного импульса  $\xi = (p_0 + p_3)/M$ ,  $p_0 = M_D - (M^2 + p^2)^{1/2}$ . Распределение  $\varphi(\xi)$  удовлетворяет условию нормировки на барионный заряд  ${}^{10}$  и связано с волновой функцией (ВФ) дейтрана <sup>11</sup>:

$$\varphi(\xi) = \int (1 + p_3/M) |\psi_D(p)|^2 \delta\left(\xi - \frac{p_0 + p_3}{M}\right) \frac{d^3 p}{(2\pi)^3}. \quad (2)$$

Для  $F_2^N$  использовалась параметризация

$$F_2^N(x) = \frac{5}{18} (x^{0.58} (2.69(1-x)^{2.7} + 1.56(1-x)^{3.7}) + 0.8(1-x)^7).$$

Результат расчета  $F_2^{ND}(x)$  представлен на рис. 2 в виде отношения  $R^{ND/N} = F_2^{ND}/F_2^N$  (кривая 1). Качественно  $R^{ND/N}$  ведет себя также, как отношение структурных функций тяжелого ядра и нуклона <sup>12</sup>, однако глубина минимума при  $x \approx 0.5 - 0.7$  здесь значительно меньше из-за относительной малости энергии связи дейтрана. Эффект связности нуклонов приводит к известному (см., например, <sup>11</sup>) нарушению энергетического правила сумм:

$$\int F_2^{ND}(x) dx = (1 - \delta) \int F_2^N(x) dx, \quad (3)$$

где расчет, соответственно с ВФ дейтрана в "боннском" и "парижском" потенциалах, дает  $\delta_B = 4.7 \cdot 10^{-3}$ ,  $\delta_P = 5.0 \cdot 10^{-3}$ .

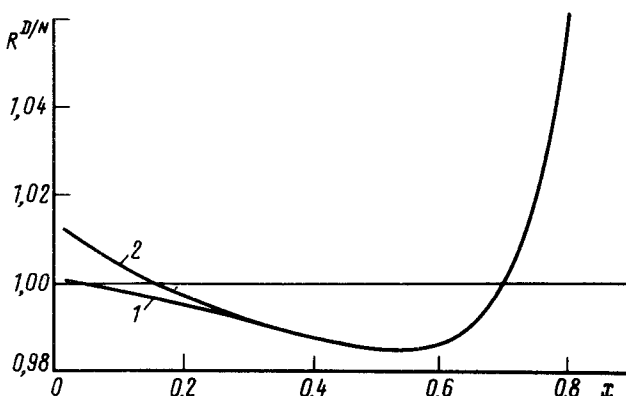


Рис. 2. Отношение структурных функций дейтрана и нуклона (расчет с использованием ВФ дейтрана в "боннском" потенциале). Кривые: 1 –  $R^{ND/N} = F_2^{ND}/F_2^N$ , 2 –  $R^{D/N} = (F_2^{ND} + \delta F_2^{\pi D} + \delta F_2^2 \pi^D)/F_2^N$

### 4. Вклад однопионного обмена в структурную функцию имеет вид

$$\delta F_2^{\pi D} = \int \frac{d^3 p_1 d^3 p_2}{(2\pi)^6} \frac{(k_0 + k_3)}{\sqrt{2E_1 2E_2 M}} F_2^\pi \left( \frac{xM}{(k_0 + k_3)} \right) \frac{g_\pi^2(k)}{(k^2 - m_\pi^2)^2} \Phi(p_1 p_2) \theta(k_0 + k_3), \quad (4)$$

где  $m_\pi$  – масса пиона,  $k = (k_0, \mathbf{k}) = (M_D - E_1 - E_2, \mathbf{p}_1 + \mathbf{p}_2)$  – его 4-импульс,  $g_\pi(k)$  – вершинная функция пион-нуклонного взаимодействия <sup>8, 9</sup>,  $M$  – масса нуклона,  $M_D$  – масса дейтрана,  $E_{1,2} = (M^2 + \mathbf{p}_{1,2}^2)^{1/2}$ . Для  $F_2^\pi$  нами использовалась параметризация  $F_2^\pi(x) = (5 \cdot 0.75 \sqrt{x} (1-x) + 20 \cdot 0.075 (1-x)^5)/9$ . Функция  $\Phi(p_1, p_2)$  связана с  $S$ - и  $D$ -

компонентами дейтронной ВФ  $u$  и  $w$  соотношением:

$$\Phi(\mathbf{p}_1, \mathbf{p}_2) = 4\pi [k^2(2f(p_1)f(p_2) - 3(u(p_1)u(p_2) + w(p_1)w(p_2)P_2(\cos\theta))) + \\ + 2(P_2(\cos\theta) - 1)(\mathbf{p}_1^2 f(p_1)w(p_2) + \mathbf{p}_2^2 f(p_2)w(p_1))],$$

где  $f(p) = w(p) + \sqrt{2}u(p)$ ,  $p = |\mathbf{p}|$ ,  $\theta$  – угол между  $\mathbf{p}_1$  и  $\mathbf{p}_2$ ,  $P_2(\cos\theta)$  – полином Лежандра. Результаты расчетов  $\delta F_2^{\pi D}(x)$  приведены на рис. 3 (кривые 1, 2). Отметим, что более массивные  $2\pi$ - и  $\omega$ -мезонные вклады подавлены по сравнению с однопионным. Для иллюстрации на рис. 3 (кривые 3, 4) приведен расчет вклада  $2\pi$ -обменного тока, который как обычно, аппроксимировался обменом скалярным  $\sigma$ -мезоном<sup>8</sup>. На рис. 2 (кривая 2) приведен результат расчета отношения:

$$R^{D/N} = (F_2^{ND} + \delta F_2^{\pi D} + \delta F_2^{2\pi D}) / F_2^N.$$

Видно, что учет МТ приводит к подъему  $R^{D/N}$  при  $x \lesssim 0,25$ . При этом МТ лишь частично ( $\sim 60\%$ ) восстанавливают энергетическое правило сумм, поскольку  $(\langle x \rangle_{\pi}^D + \langle x \rangle_{2\pi}^D) / \langle x \rangle_N \approx \approx 3 \cdot 10^{-3}$ . Отличие  $\langle x \rangle_D / \langle x \rangle_N$  от единицы вызвано некоторым нарушением самосогласованности расчета: область кора в реалистических потенциалах по существу задается феноменологически.

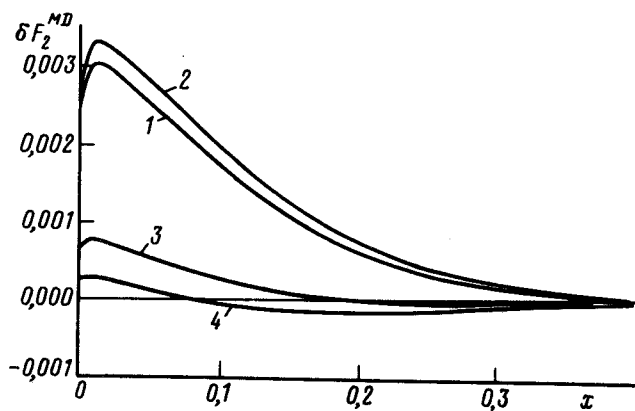


Рис. 3. Вклад МТ в структурную функцию дейтрона. Кривые: 1, 2 –  $\delta F_2^{\pi D}$ ; 3, 4 –  $\delta F_2^{2\pi D}$  (1, 3 – расчет в "боннском", 2, 4 – в "парижском" потенциалах)

Итак, проведенное исследование показывает, что представление о ядре как системе, состоящей только из нуклонов, является неполным. Такой же вывод на основе качественного рассмотрения EMC-эффекта был сделан в работе<sup>13</sup>. Включение мезонной компоненты приводит к диаграммам мезонных токов. Поведение структурной функции при учете только нуклонной компоненты (ИП) качественно напоминает EMC-эффект при  $x > 0,25$  и нарушает энергетическое правило сумм. МТ частично восстанавливают это нарушение, оставляя место для других механизмов: размораживание конволюционной модели, перенормировка вершинных  $MNN$ -функций, учет вклада многоквартковой структуры дейтрона на малых  $NN$ -расстояниях и т. д.

Авторы благодарят В.К.Лукьянова, В.В.Бурова, В.А.Карманова, М.Кирхбах, Е.М.Левина, Е.Л.Братковскую за полезные обсуждения.

## Литература

1. *Chemtob M.* In: Mesons in Nuclei. Amsterdam, North-Holland, 1979, p. 555.
2. Чванов Е.А., Труглик Э. ЭЧАЯ, 1981, 12, 492.
3. Кирхбах М., Труглик Э.ЭЧАЯ, 1986, 17, 224.
4. *Gari M., Hyuga H.* Z. Phys., 1976, A277, 291.
5. *Ericson M., Thomas A.W.* Phys. Lett., 1983, B128, 112.
6. *Титов А.И.* ЯФ, 1984, 40, 76.
7. Саперштейн Э.Е., Шматиков М.Ж. Письма в ЖЭТФ, 1985, 41, 44.
8. *Machleidt R. et al.* Phys. Rep., 1987, 149, 1.
9. *Lacombe M. et al.* Phys. Rev., 1980, C21, 861.
10. *Frankfurt L.L., Strikman M.I.* Phys. Rep., 1981, 76, 215.
11. Бирбраир Б.Л. и др. Мат. XXI зимней школы ЛИЯФ, Л., 1986, с. 3.
12. Акулиничев С.В. и др. Письма в ЖЭТФ, 1985, 42, 105.
13. Карманов В.А. В кн.: Труды симпозиума "Нуклон-нуклонные и адрон-ядерные взаимодействия при промежуточных энергиях", Л.: ЛИЯФ, 1986, с. 496.

Поступила в редакцию

22 февраля 1988 г.

После переработки

4 апреля 1988 г.